

Estudio petrológico y estructural de las rocas metamórficas y graníticas del sector N-oriental del macizo del Montseny (Prov. Barcelona-Gerona)

Manuel Viladevall Solé

ADVERTIMENT. La consulta d'aquesta tesi queda condicionada a l'acceptació de les següents condicions d'ús: La difusió d'aquesta tesi per mitjà del servei TDX (www.tesisenxarxa.net) ha estat autoritzada pels titulars dels drets de propietat intel·lectual únicament per a usos privats emmarcats en activitats d'investigació i docència. No s'autoritza la seva reproducció amb finalitats de lucre ni la seva difusió i posada a disposició des d'un lloc aliè al servei TDX. No s'autoritza la presentació del seu contingut en una finestra o marc aliè a TDX (framing). Aquesta reserva de drets afecta tant al resum de presentació de la tesi com als seus continguts. En la utilització o cita de parts de la tesi és obligat indicar el nom de la persona autora.

ADVERTENCIA. La consulta de esta tesis queda condicionada a la aceptación de las siguientes condiciones de uso: La difusión de esta tesis por medio del servicio TDR (www.tesisenred.net) ha sido autorizada por los titulares de los derechos de propiedad intelectual únicamente para usos privados enmarcados en actividades de investigación y docencia. No se autoriza su reproducción con finalidades de lucro ni su difusión y puesta a disposición desde un sitio ajeno al servicio TDR. No se autoriza la presentación de su contenido en una ventana o marco ajeno a TDR (framing). Esta reserva de derechos afecta tanto al resumen de presentación de la tesis como a sus contenidos. En la utilización o cita de partes de la tesis es obligado indicar el nombre de la persona autora.

WARNING. On having consulted this thesis you're accepting the following use conditions: Spreading this thesis by the TDX (www.tesisenxarxa.net) service has been authorized by the titular of the intellectual property rights only for private uses placed in investigation and teaching activities. Reproduction with lucrative aims is not authorized neither its spreading and availability from a site foreign to the TDX service. Introducing its content in a window or frame foreign to the TDX service is not authorized (framing). This rights affect to the presentation summary of the thesis as well as to its contents. In the using or citation of parts of the thesis it's obliged to indicate the name of the author.

DEPARTAMENTO DE PETROLOGIA Y GEOQUIMICA

FACULTAD DE GEOLOGIA - UNIVERSIDAD DE BARCELONA



BIBLIOTECA DE GEOLOGIA
Universitat de Barcelona-CSIC



ESTUDIO PETROLOGICO Y ESTRUCTURAL
DE LAS ROCAS METAMORFICAS Y
GRANITICAS DEL SECTOR N-ORIENTAL
DEL MACIZO DEL MONTSENY
(Provs. de Barcelona-Gerona)

POR

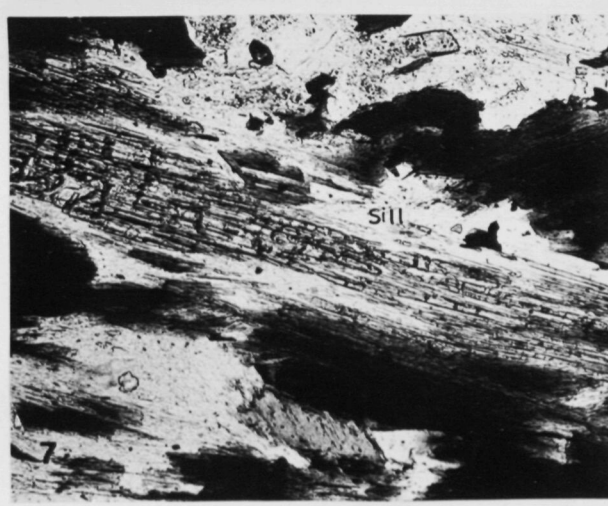
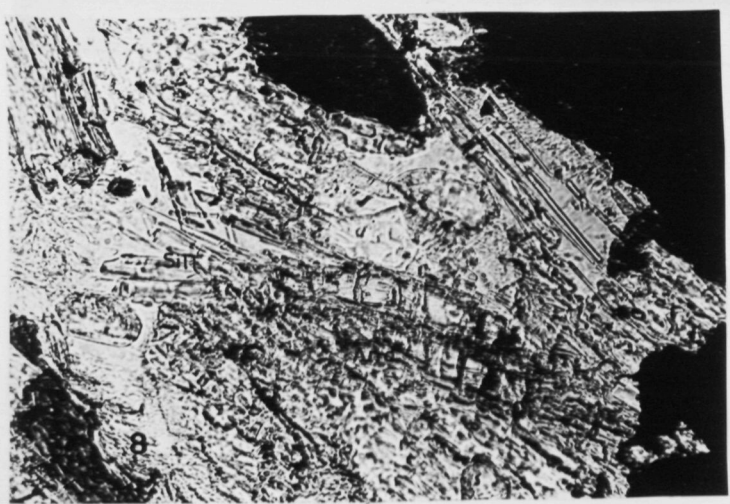
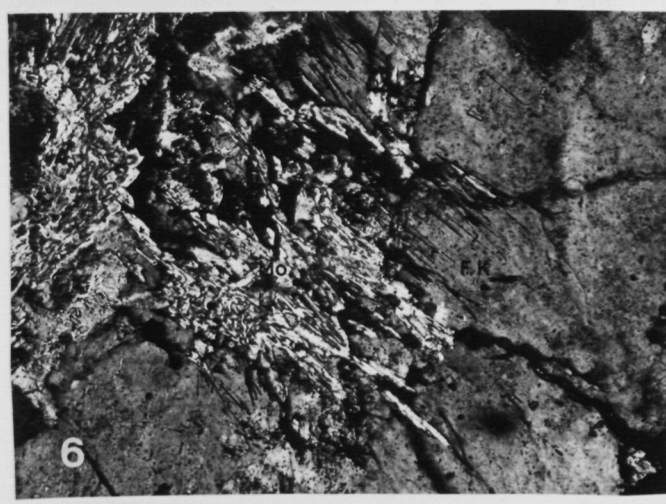
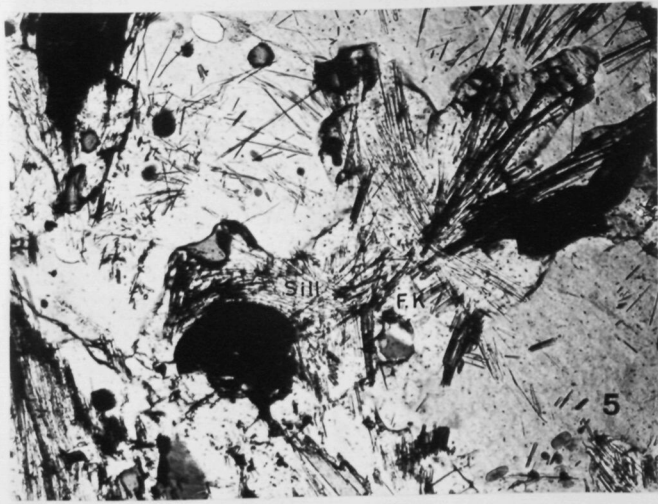
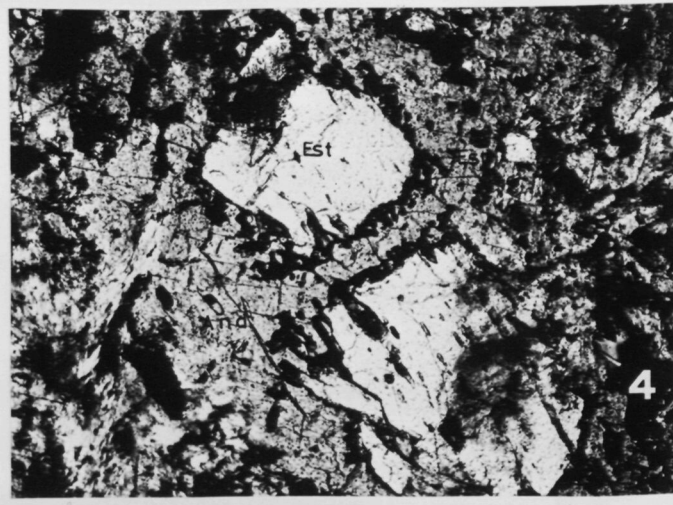
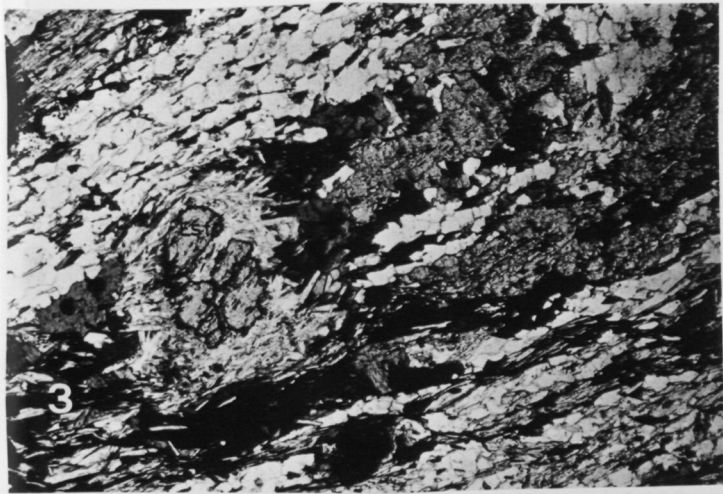
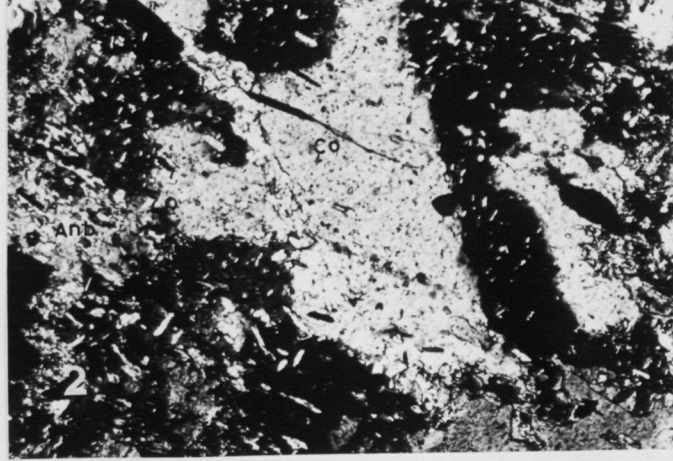
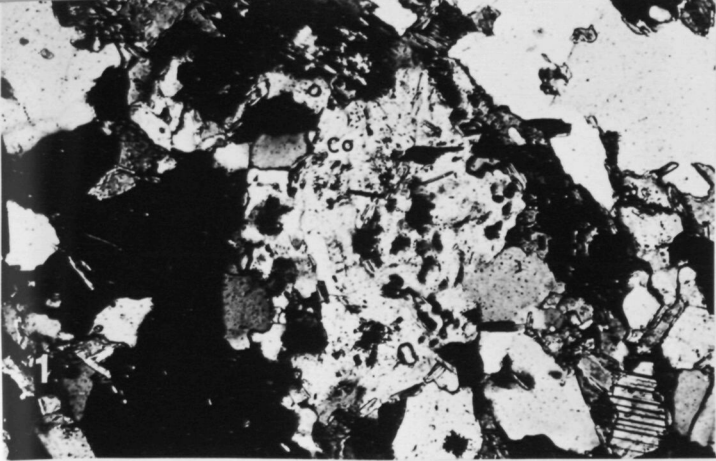
MANUEL VILADEVALL SOLE

TOMO II

SEPTIEMBRE 1975

LAMINA N^o. 7.

- fot. 1. M. 339, NC, 88x. Cordierita de 1^a generación.
(Inicio de la Isograda de la Cordierita).
- fot. 2. M. 7704, NC, 88x. Cordierita maclada paragenética
con Andalucita - Biotita.
- fot. 3. M. 7703, NC, 35x. Estauroлита - Andalucita - Biotita - Cuarzo.
- fot. 4. M. 7723., 88x. Estauroлита - Andalucita - Espinela
(Estauroлита blindada dentro de la Andalucita y
emigración de ilmenita y magnetita hacia los Bordes)
- fot. 5. M. 424., 88x. Sillimanita - Feldespato K. -
- Biotita - Cuarzo en los Micaesquistos de Gualba.
- fot. 6. M. H-1., 88x. Sillimanita - Feldespato K. - Moscovita
en las Migmatitas de Breda.
- fot. 7. M. 427., 112, 6x. Fibrolita (Sillimanita).
- fot. 8. M. 381., 220x. Andalucita - Sillimanita (transformación).



LAMINA N^o. 8.

fot. 1. M. 349, NC, 22x. Cordierita de Contacto. Sta Fe.

fot. 2. M. 438., 9x. Quiastolita en pelitas de Contacto.
Turo de l'Home.

fot. 3. M. 7115., NC, 88x. Andalucita idiomórfica de Contacto
to. Turo de l'Home.

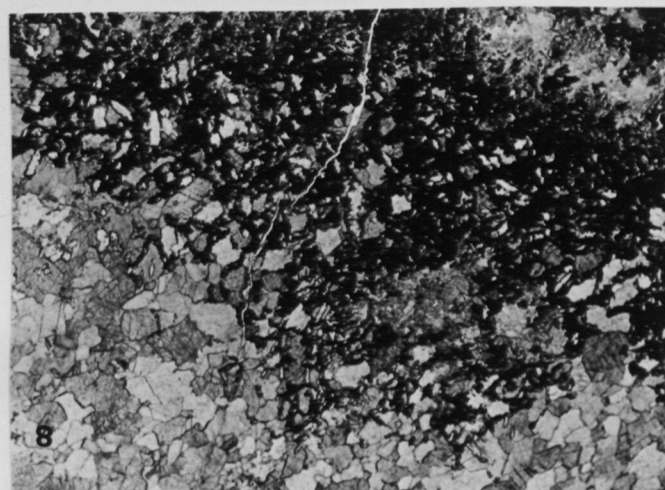
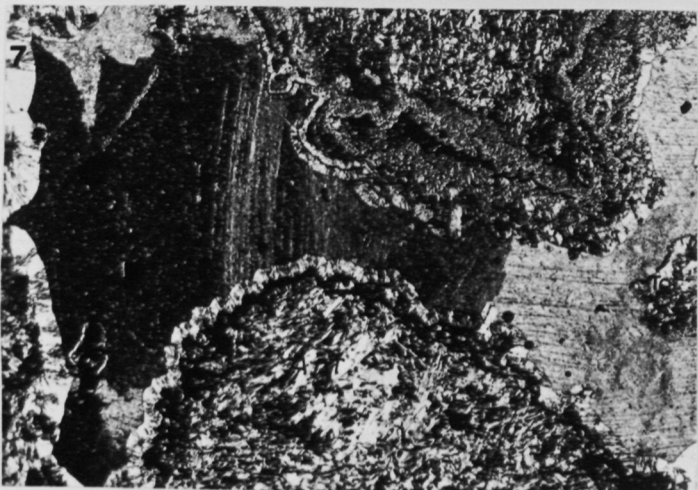
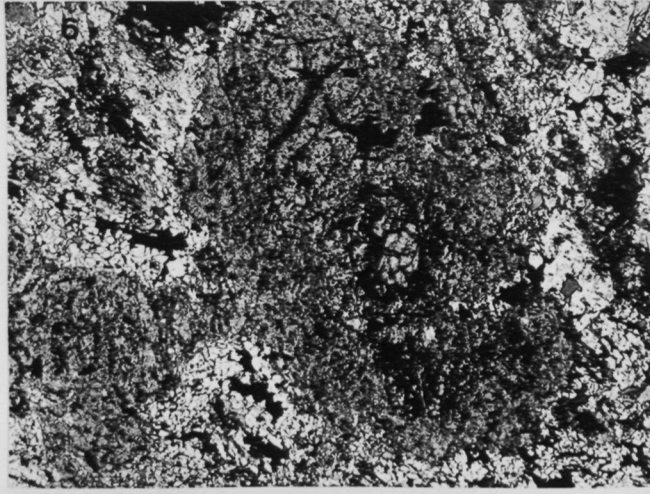
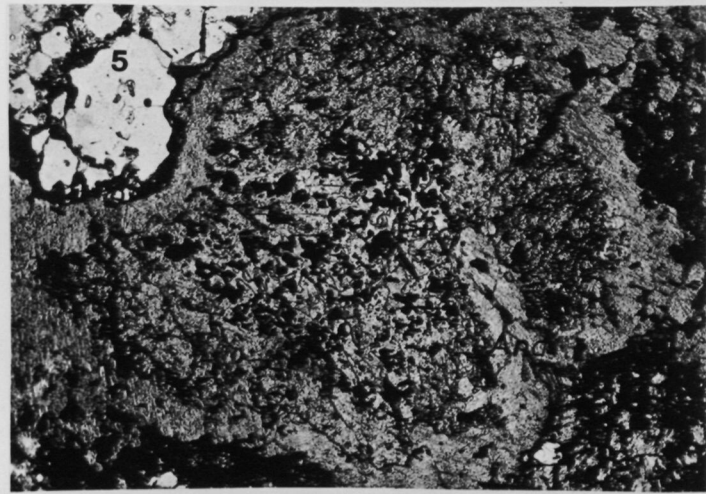
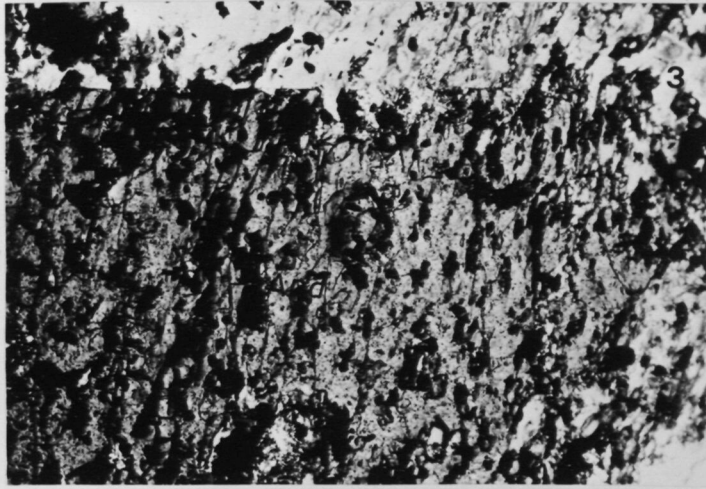
fot. 4. M. 438, NC, 4x. Andalucita (Moteado) en filitas del
Turo de l'Home (Aspecto general).

fot. 5. M. 7735, NC, 22x. Andalucita - Espinela (Retrome-
tamorfismo). Riells.

fot. 6. M. 354, NC, 9x. Andalucita seritizada (Pennina)
con Estauroлита blindada. Estadios tardios liga-
dos al retrometamorfismo - metamorfismo hidro-
termal.

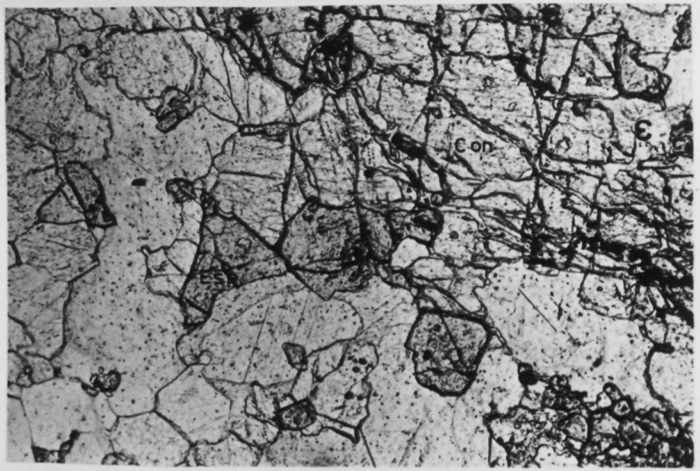
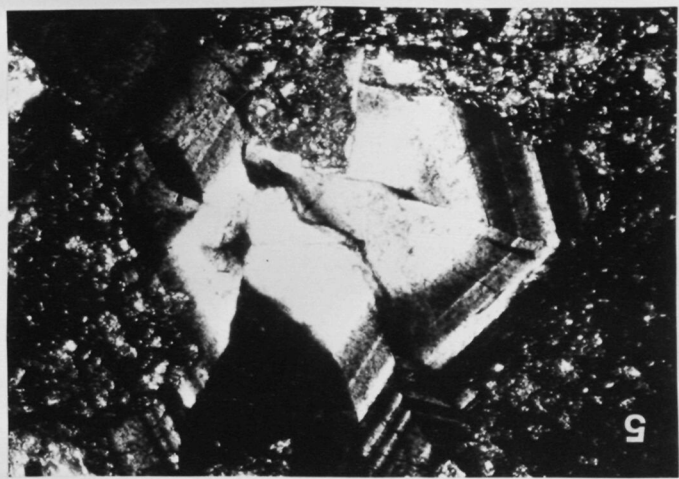
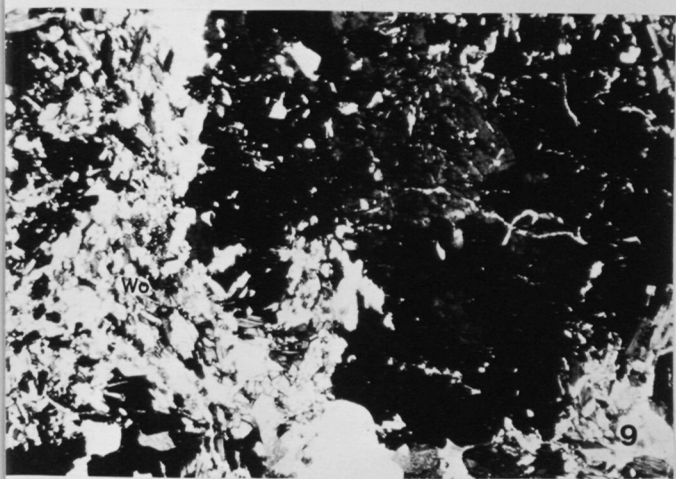
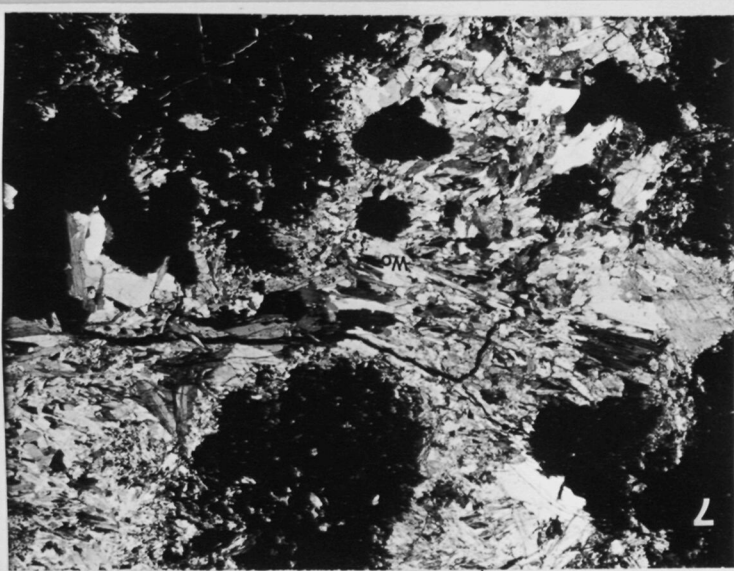
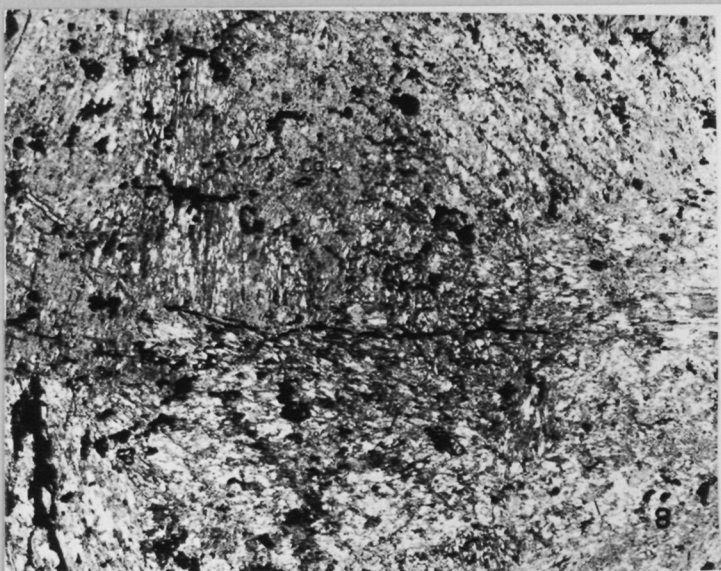
fot. 7. M. 111, NC, 4x. Antigorita - talco - Calcita en
mármoles afectados por el metamórfismo hidrotermal
Gualba.

fot. 8. M. 108., 5x. Alteración en los Mármoles (Karstifi-
cación).



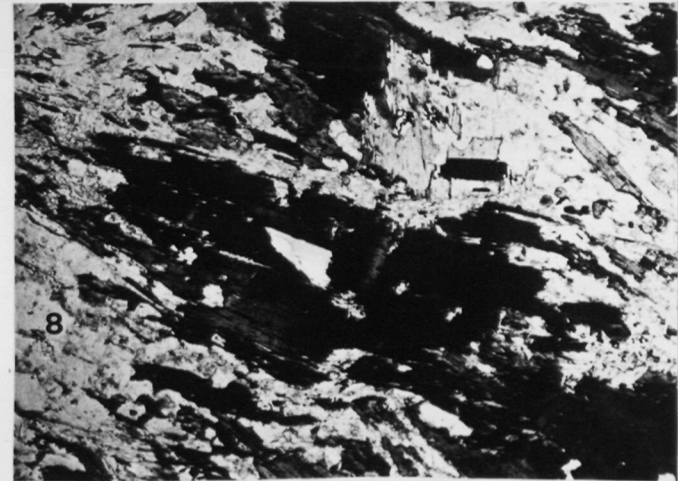
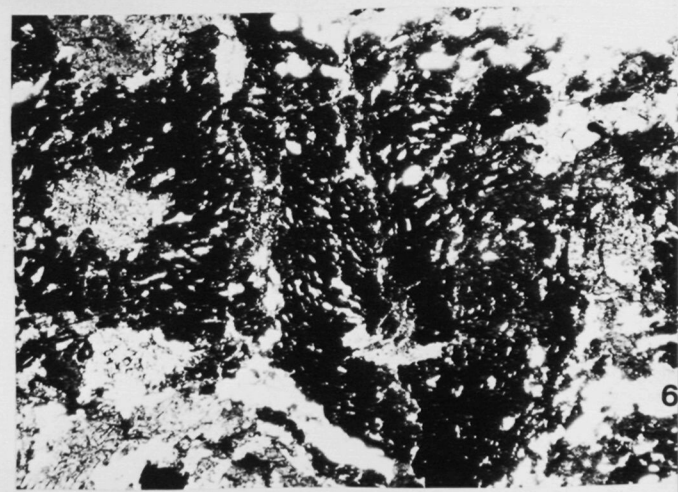
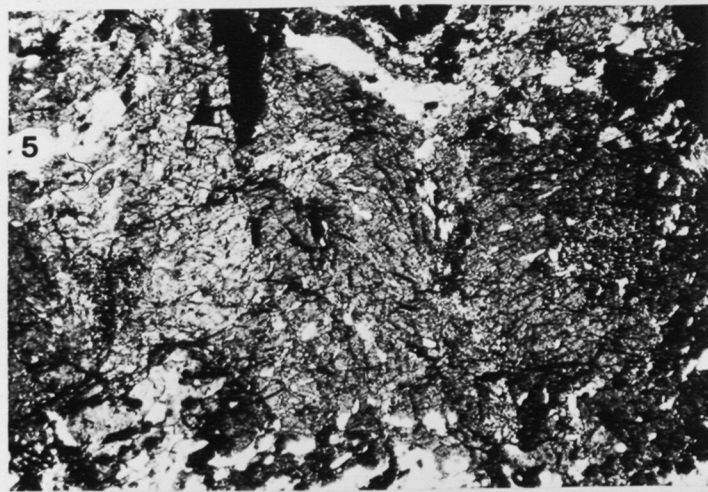
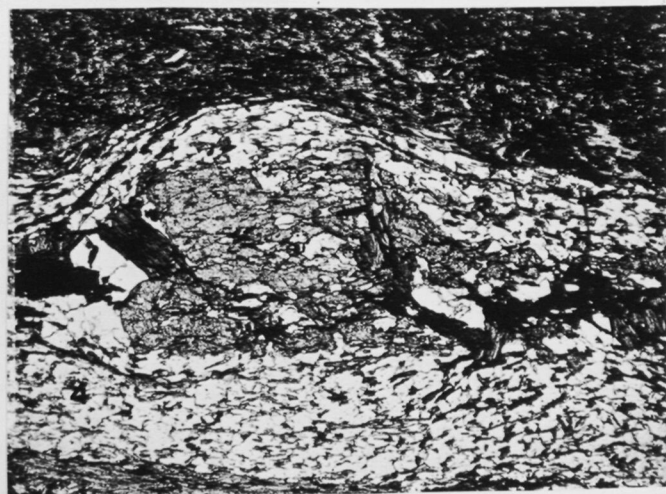
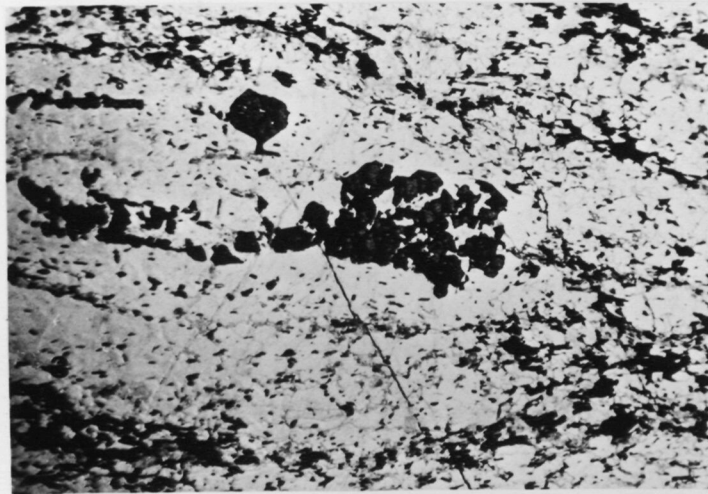
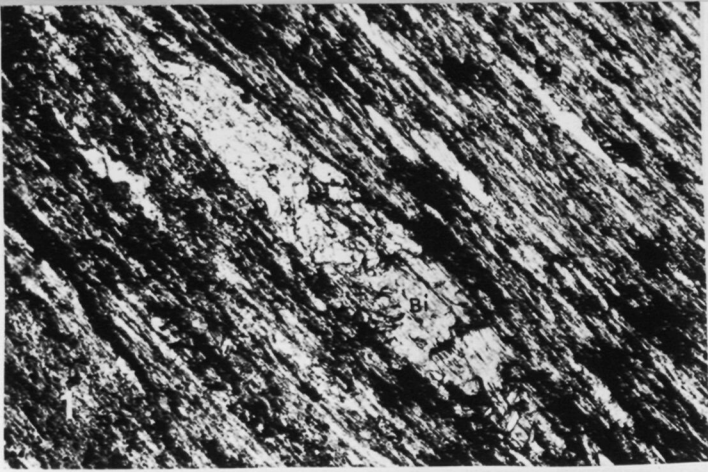
LAMINA N^o. 9.

- fot. 1. M. 95, NC, 88x. Diópsido - Tremolita - Calcita -
- Flogopita.
- fot. 2. M. 107, NC§ 88x. Diópsido - Calcita - Cuarzo.
- fot. 3. M. 102., 88x. Condrodita - Espinela - Calcita.
- fot. 4. M. 401., NC, 88x. Diópsido - Forsterita - Calcita
- fot. 5. M. 6909, NC, 88x. Pireneita. (Grosularia - Andradita Anómalo. Típico de rocas carbonatadas de con
tacto).
- fpt. 6. M. 106, NC, 22x. Vesuvianita - Wollastonita -
- Grosularia (Andradita). Metamorfismo de Con-
tacto - Hidrotermal.
- fot. 7. M. 3606, NC 4x. Aspecto general de una roca Skarn
con Grosularia (Andradita) - Wollastonita -
- Epidota (tardia).
- fot. 8. M. 355., 4x. Wollastonita - Calcita en el contacto
Granito - Mármol.



LAMINA N^o. 10.

- fot. 1. M. 451, 88x. Biotita (cloritizada) ante fase dos. Esquistos pelíticos del estadio Muy Débil - Débil. Fogars de Monclús.
- fot. 2. M. 7698., 88x. Biotita ante fase dos y crenulación de fase S₃. Turo de l'Home.
- fot. 3. M. 7763., 9x. Granate "Alamandino" ante fase dos, rodeado por S₂. Gneises de la riera de Arbucies.
- fot. 4. M. 7774., NC, 22x. Andalucita aparentemente ante fase dos. Su crecimiento fue a expensas de un por_o firoblasto ante S₂. (Biotita = Cuarzo).
- fot. 5. 6. M. 7704., NC, 22x. Extinciones ondulantes de la Andalucita sin - post fase tres con respecto a dicha fase de deformación. (Observar el ángulo de los micropliegues en la Andalucita).
- fot. 7. M. 7702, NC, 28x. Moscovitas tardias con respecto a la crenulación S₃.
- fot. 8. M. 427., 22x. Biotita en esquistos Cuarzofeldespáticos deformadas (Kink) por S₄.



LAMINA Nº. 11. (Aspecto General de los Granitos)

fot. 1. M. 289, NC, 4x. "Granodioritas " de Sta Fe.

fot. 2. M. 288, NC, 4x. Granitos Monzoníticos. Sta Fe.

fot. 3. M. 129, NC, 3x. Granitos rojos de San Marçal.
(Alteración - Cataclásis).

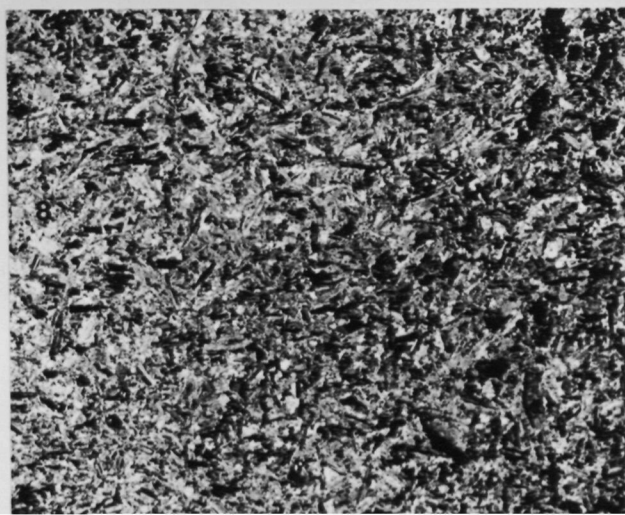
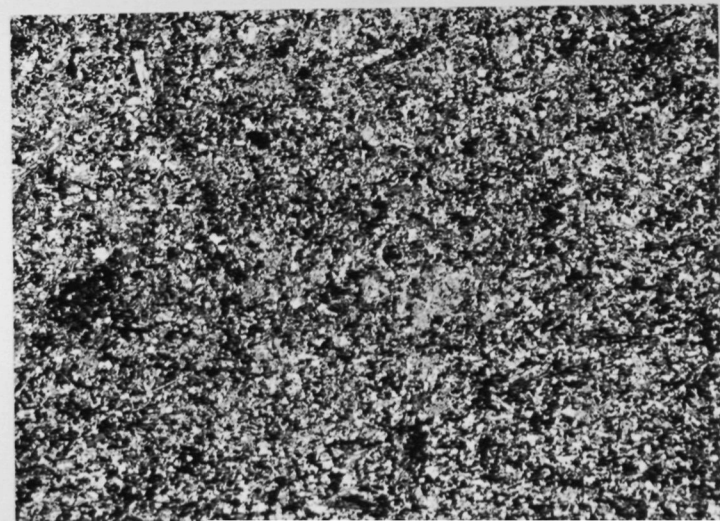
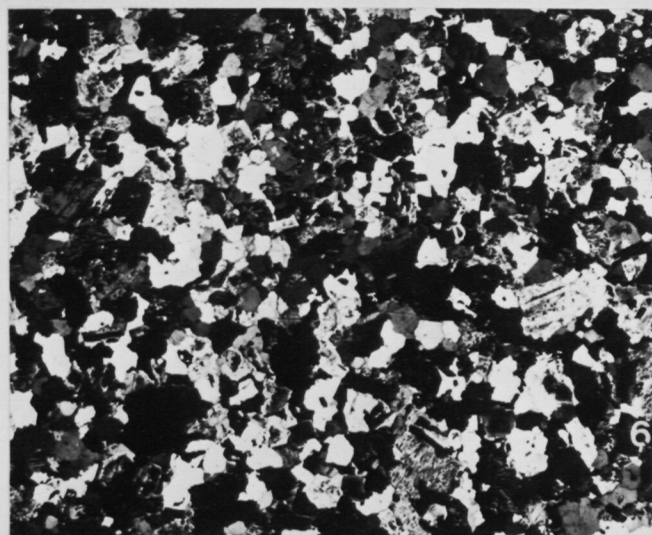
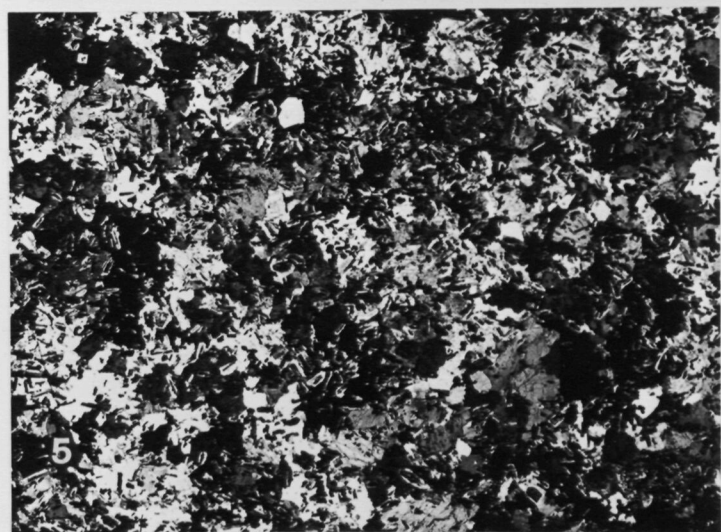
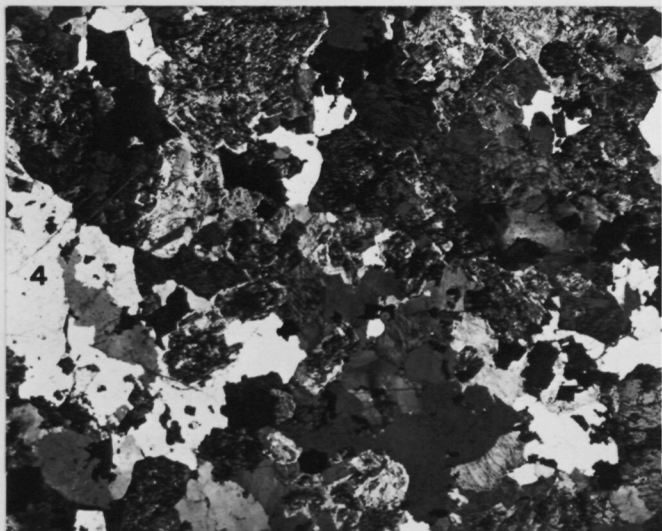
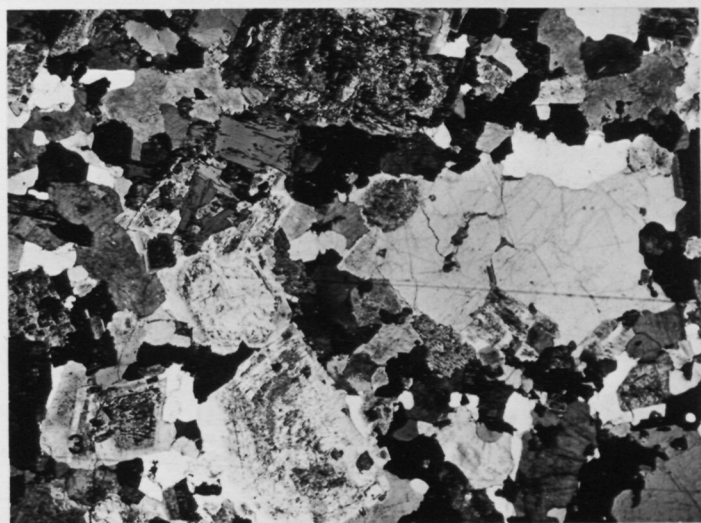
fot. 4. M. 293, NC, 3x. Leucogranitos de grano grueso.
Morou.

fot. 5. M. 314, NC, 4x. Microgranodiorita. Sta Fe - Morou.

fot. 6. M. 294, NC, 3x. Leucogranitos de grano fino.
Morou.

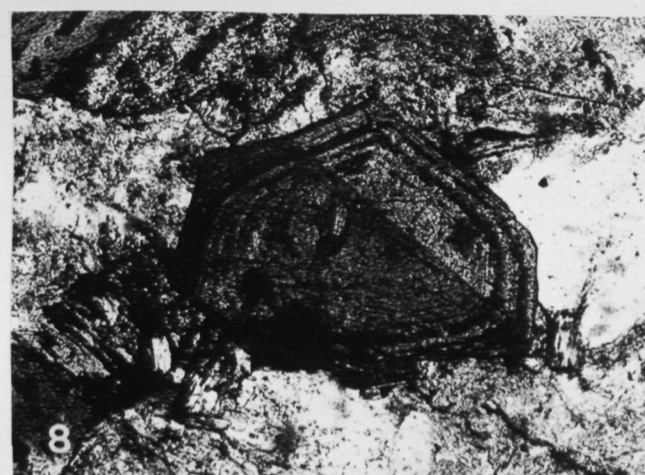
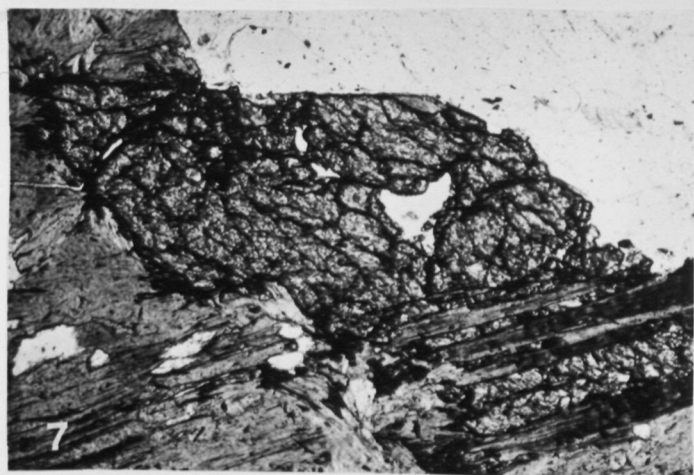
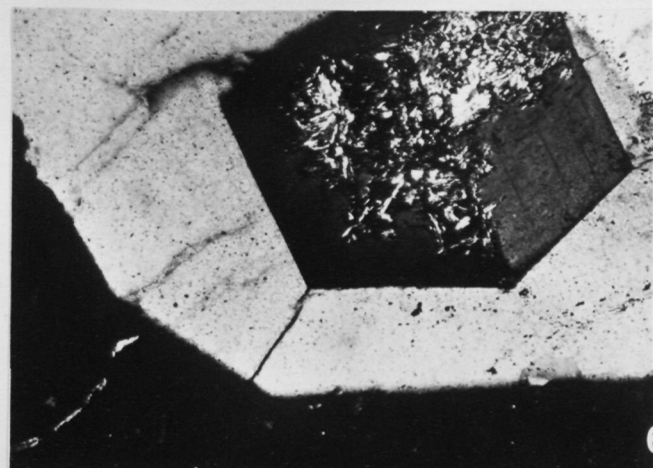
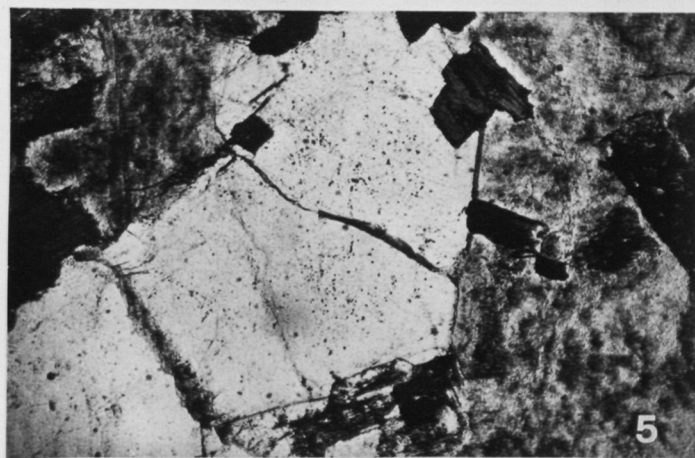
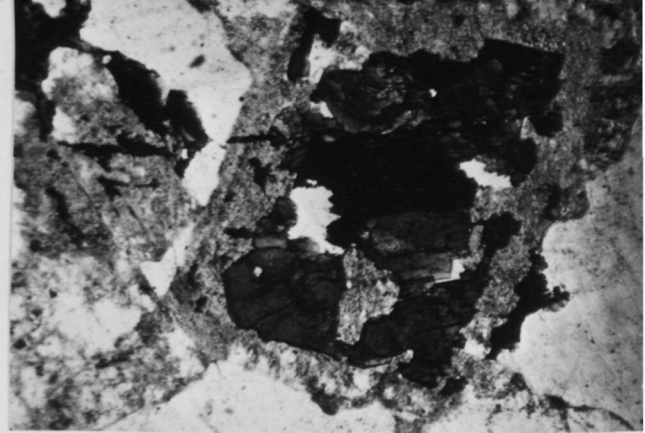
fot. 7. M. 307, NC, 4x. Enclave en "Granodioritas".
San Marçal.

fot. 8. M. 374, NC, 3x. Enclave de microgranodiorita de
aspecto Tonalítico en los micaesquistos de con-
tacto. Sta Fe.



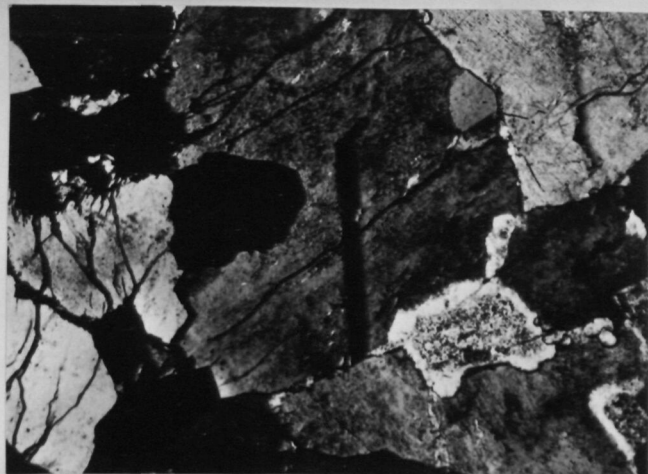
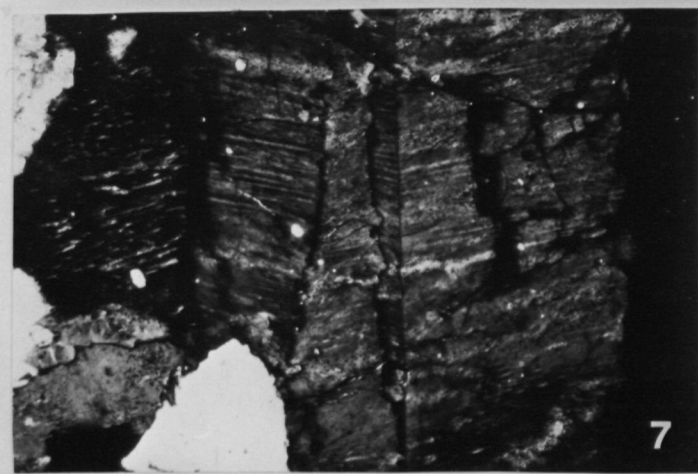
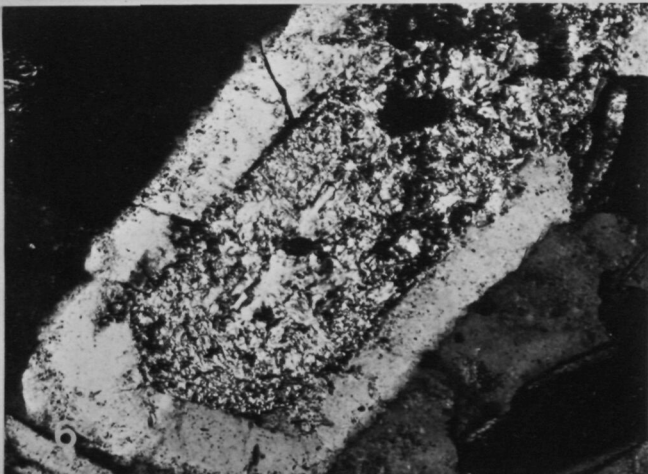
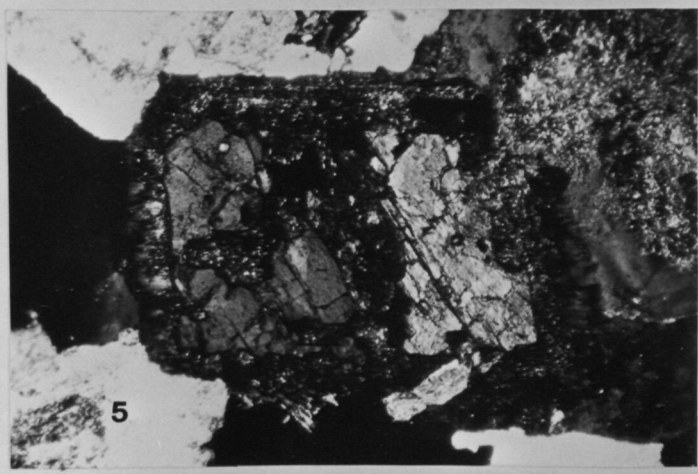
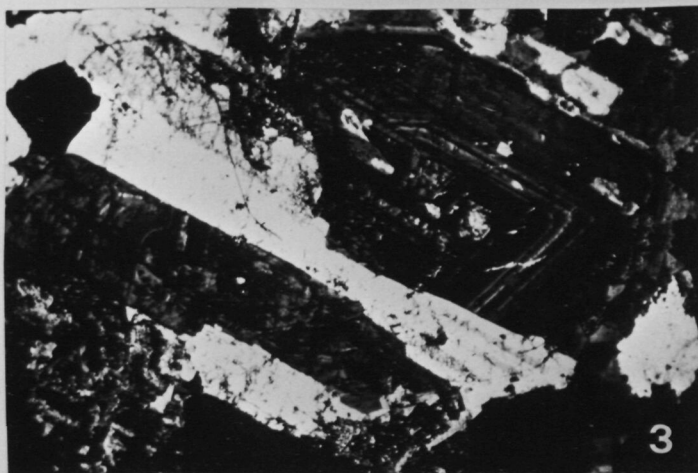
LAMINA Nº. 12.

- fot. 1. M. 289, NC, 88x. Biotita alotriomórfica (1) incluida en plagioclása zonada Andesina. Granodioritas de Sta Fe.
- fot. 2. M. 322 (1), NC, 28x. Horblenda incluida en plagioclása zonada. Microgranodiorita. Arany.
- fot. 3. M. 329, NC, 22x. Aspecto general de una Plagioclása zonada Oligoclas básica - Andesina. Riells.
- fot. 4. M. 7081, NC, 88x. Ortoclása con dos generaciones de Perfitas. Granitos Monzoníticos (Granodioritas de Riells).
- fot. 5. M. 336, NC, 22x. Cuarzo idiomórfico (1) englobando a Biotita (1) y englobado ambos por el Feldespato K. "Granodioritas" de Montsoriu - Arbucies.
- fot. 6. M. 336, NC, 88x. Plagioclása - Cuarzo - Feldespato K. "Granodioritas" de Riells.
- fot. 7. M. 323, NC, 88x. Esfena entre Biotita cloritizada. Leucogranitos de grano grueso. Arany.
- fot. 8. M. 6277., 88x. Allanita. "Granodiorita" de Sta Fe.



LAMINA N^o. 13.

- fot. 1. M. 322 (2). Plagioclasa zonada con Patchy Zoning y Biotita primaria incluida.
- fot. 2. M. 314. NC, 88x. Plagioclasa Zonada Oligoclásica-Andesina con inclusiones de Biotita. Sta Fe.
- fot. 3. M. 6323, NC, 9x. Aspecto general de una Plagioclásica zonada Oligoclásica - Andesina con un fuerte maclado.
- fot. 4. M. 288, NC, 22x. Zonado Patchy y maclas de la Periclina.
- fot. 5. M. 322 (8), NC, 22x. Horblenda en Plagioclásica zonada.
- fot. 6. M. 6277, NC, 9x. Plagioclásica Albitizada y Sausoritzada.
- fot. 7. M. 331, NC, 88x. Microlina con macla de Calsbad y Kinking tardío. Leucogranito de grano fino. Riells.
- fot. 8. M. 6291, NC, 22x. Deformación tardía de las Microlinas de los Leucogranitos.



LAMINA N^a. 14.

fot. 1. M. 129., NC, 88x. Biotita presentando la reacción de Chayes y formación de Feldespato K.

fot. 2. " NP " " " "

fot. 3. M. 190., 22x. Biotita Cloritizada - Calcita y exudación de opacos hacia el borde.

fot. 4. M. 293., 112x. Moscovitización del Feldespato K.

fot. 5. M. 325, NC, 88x. Albitización en bordes del Feldespato K. "Granodioritas" de Arbucies.

fot. 6. M. 7082, NC, 88x. Mirmequitas. Leucogranito Riells.

fot. 7. M. 7082 (2), NC, 88x. Albitización de la Microclina. Leucogranitos de Gualba.

fot. 8. M. 293, NC, 22x. Albitización del Feldespato K. con mirmequitas. Leucogranitos del Morou.

